

УДК 517.977

## Использование сопровождающей задачи минимизации интенсивности управления для стабилизации математического маятника с двумя нелинейностями

Е. А. Ружицкая

**1. Введение.** Проблема стабилизации является одной из центральных в теории управления движением [1]. В классических подходах к ее решению были использованы разнообразные достаточные условия асимптотической устойчивости движения [2], которые позволяли оценить и качество переходных процессов [3]. С созданием математической теории оптимальных процессов [4] появилась возможность построения оптимальных ограниченных стабилизирующих обратных связей [5, 6].

Линейные теории составляют основу многих нелинейных теорий. Однако ими невозможно ограничиться, если иметь в виду нелокальные поведения нелинейных систем. Из-за огромного многообразия нелинейных систем рассчитывать на создание общих эффективных численных методов стабилизации нелинейных систем не приходится. Каждая нелинейная система в своем роде уникальна, поэтому общими для разных нелинейных систем могут быть лишь некоторые принципы.

В работе [7] описан один метод стабилизации нелинейной системы с двумя нелинейностями. При этом для построения стабилизирующей обратной связи использовалась вспомогательная задача минимизации расхода топлива. Цель данной работы — развить подход, предложенный в [7] и построить стабилизирующую обратную связь для нелинейной системы с двумя нелинейностями, используя вспомогательную задачу минимизации интенсивности управления.

**2. Постановка задачи.** Математический маятник — классический объект нелинейной механики. Задача его стабилизации в малом инерционном моментом на базе линейной модели и линейно-квадратичной задачи оптимального управления решена в [1]. При стабилизации в большом с помощью приложенного к оси подвеса момента линеаризованной модели уже недостаточно и приходится рассматривать нелинейное уравнение [8]

$$\ddot{x} + a \sin x = u. \quad (1)$$

Задача стабилизации значительно усложняется, если поведением маятника управлять с помощью горизонтальных перемещений оси подвеса. Пусть в этом случае уравнение движения маятника в области  $X \subset R^n$  имеет вид:

$$\ddot{x} = \sin x - u \cos x, \quad x \in X, \quad (2)$$

где  $x$  — угол отклонения маятника от вертикального верхнего положения,  $u$  — ускорение точки подвеса. Уравнение (2) в отличие от (1) содержит две нелинейности и при больших возмущениях ( $\cos x_0 = 0$ ) неуправляемо. Состояние  $(\pi, 0)$  является устойчивым нижним положением равновесия системы (2), а состояние  $(0, 0)$  — неустойчивым верхним положением равновесия.

Задача подъема маятника из нижнего положения равновесия  $x = 0$  в верхнее  $x = \pi$  с последующей стабилизацией около нового положения исследовалась в [9, 10]. В этих работах решение задачи построения стабилизирующих обратных связей разбивалось на два этапа. На первом этапе решалась задача подъема маятника в окрестность

верхнего положения с помощью накачки энергии, на втором — осуществлялась стабилизация с помощью решения линейно-квадратичной задачи оптимального управления.

В данной работе задача стабилизации динамической системы (2) как единая, решается методом, разработанным в [7].

Функцию

$$u = u(x), \quad x \in X, \quad (3)$$

назовем дискретной (с периодом квантования  $h > 0$ ) стабилизирующей обратной связью, если: 1)  $u(0) = 0$ ; 2) траектория замкнутой системы  $\ddot{x} = \sin x - u(x)\cos x$ ,  $x(0) = x_0 \in X$ , представляет непрерывное решение уравнения  $\ddot{x} = \sin x - u(t)\cos x$ ,  $x(0) = x_0$ , с управлением  $u(t) = u(kh)$ ,  $t \in [kh, (k+1)h]$ ,  $k = 0, 1, 2, \dots$ ; 3) нулевое решение  $x(t) \equiv 0$ ,  $t \geq 0$ , уравнения асимптотически устойчиво и  $X$  — область притяжения состояния равновесия  $x = 0$ . Требуется построить стабилизирующую обратную связь (3), которая удовлетворяет ограничению

$$|u(x)| \leq L, \quad 0 < L < \infty, \quad x \in X. \quad (4)$$

Такие стабилизирующие обратные связи будем называть ограниченными стабилизирующими обратными связями.

**3. Алгоритм решения задачи.** Выберем число  $0 < \Theta = Nh < \infty$  (параметр метода), критерий качества  $J(u) = \min_{u(t) \in [0, \Theta]} \max |u(t)|$ , и класс доступных дискретных управлений  $u(t) = u(kh)$ ,  $t \in [kh, (k+1)h]$ ,  $k = \overline{0, N-1}$ .

Предположим, что для каждого начального состояния  $x(0) = x_0 \in X$  существует дискретное управление  $|u(t)| \leq L$ ,  $0 \leq t \leq \Theta < \infty$ , которое переводит систему (2),  $x(0) = x_0$ , в момент  $t = \Theta$  в состояние равновесия  $x = 0$ .

В классе доступных управлений рассмотрим вспомогательную (сопровождающую) задачу оптимального управления

$$V_{\Theta}(z) = \min_u \rho,$$

$$\ddot{x} = \sin x - u \cos x, \quad x(0) = z, \quad x(\Theta) = 0, \quad |u(t)| \leq \rho, \quad t \in T = [0, \Theta]. \quad (5)$$

Пусть  $u_{\Theta}^0(t|z)$ ,  $t \in T$ , — оптимальное программное управление задачи (5),  $X_{\Theta}$  — множество  $z \in X$ , для которых существует решение задачи (5).

Функцию

$$u_{\Theta}^0(z) = u_{\Theta}^0(0|z), \quad z \in X_{\Theta}, \quad (6)$$

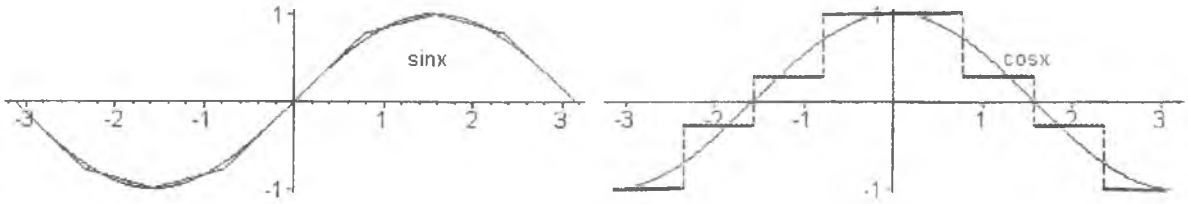
назовем оптимальным (стартовым) управлением типа обратной связи.

Можно показать, что функция (6) является ограниченной стабилизирующей дискретной обратной связью [7].

Получить в общем случае аналитическое решение (явную формулу) для построения ограниченной стабилизирующей обратной связи невозможно. Поэтому в работе обобщается подход [5], разработанный для линейного варианта системы (2), который заключается в решении задачи стабилизации для кусочно-линейной аппроксимации системы (2):

$$\ddot{x} = a_q(x) + b_q(x)u, \quad (7)$$

где  $a_q(x)$ ,  $x \in X$ , — кусочно-линейная функция, аппроксимирующая функцию  $\sin x$ ,  $x \in X$ ;  $a_q(x)$ ,  $x \in X$ , линейна в каждой из областей  $X_i$ :  $\text{int}X_i \cap \text{int}X_j = \emptyset$ ,  $i \neq j$ ;  $\bigcup_{i=1}^q X_i = X$ ;  $b_q(x)$ ,  $x \in X$ , — кусочно-постоянная функция, аппроксимирующая функцию  $\cos x$ ,  $x \in X$ ; она постоянна в каждой области  $X_i$ ,  $i = \overline{1, q}$ .

Рис. 1. Аппроксимация функций  $\sin x$ ,  $\cos x$ .

Точность аппроксимации характеризуется числом

$$\delta = \max \left\{ \max_{x \in X} \left[ \frac{\| \sin x - a_q(x) \|}{\| \sin x \|} \right]; \max_{x \in X} \left[ \frac{\| \cos x - b_q(x) \|}{\| \cos x \|} \right] \right\}$$

Быстрые (прямые и двойственные) алгоритмы решения нескольких типов сопровождающих задач, разработанные в [11] для линейных систем, можно обобщить на кусочно-линейную систему (7). Это позволяет, следуя [12], реализовать оптимальные обратные связи в режиме реального времени, т.е. решить задачу стабилизации динамической системы (7). В качестве  $X$  возьмем область:

$$X = \{(x_1, x_2) : -\pi \leq x_1 \leq 5\pi/4\}. \quad (8)$$

Область (8) разобьем на подобласти:  $X_1 = \{(x_1, x_2) : -\pi \leq x_1 \leq -3\pi/4\}$ ,  $X_2 = \{(x_1, x_2) : -3\pi/4 \leq x_1 \leq -\pi/2\}$ ,  $X_3 = \{(x_1, x_2) : -\pi/2 \leq x_1 \leq -\pi/4\}$ ,  $X_4 = \{(x_1, x_2) : -\pi/4 \leq x_1 \leq \pi/4\}$ ,  $X_5 = \{(x_1, x_2) : \pi/4 \leq x_1 \leq \pi/2\}$ ,  $X_6 = \{(x_1, x_2) : \pi/2 \leq x_1 \leq 3\pi/4\}$ ,  $X_7 = \{(x_1, x_2) : 3\pi/4 \leq x_1 \leq 5\pi/4\}$ .

Выберем следующие аппроксимации функций  $a_q(x)$  и  $b_q(x)$ :

$$a_q(x) = \begin{cases} x - \pi, & x \in X_1 \\ x(1 - 4/\pi) - 3 + \pi/2, & x \in X_2 \\ x(4/\pi - 1) - \pi/2 + 1, & x \in X_3 \\ x, & x \in X_4 \\ x(4/\pi - 1) + \pi/2 - 1, & x \in X_5 \\ x(1 - 4/\pi) + 3 - \pi/2, & x \in X_6 \\ -x + \pi, & x \in X_7 \end{cases} \quad b_q(x) = \begin{cases} -1, & x \in X_1 \\ 1 - 4/\pi, & x \in X_2 \\ 4/\pi - 1, & x \in X_3 \\ 1, & x \in X_4 \\ 4/\pi - 1, & x \in X_5 \\ 1 - 4/\pi, & x \in X_6 \\ -1, & x \in X_7 \end{cases}$$

На рис. 1 представлены выбранные аппроксимации  $a_q(x)$ ,  $b_q(x)$ ,  $x \in X$ , функций  $\sin x$ ,  $\cos x$ ,  $x \in X$ .

Пусть заданы: начальное состояние  $x_0 = (\pi, 0)$ , значения  $\Theta, h$ . Рассмотрим случай, когда оптимальная траектория задачи (5) на фазовой плоскости проходит по четырём областям I:  $X_7$ , II:  $X_6$ , III:  $X_5$ , IV:  $X_4$ . Таким образом, маятник находится в нижнем устойчивом состоянии равновесия  $(\pi, 0)$ . Требуется поднять его в верхнее неустойчивое положение равновесия  $(0, 0)$  и удержать его (стабилизировать) в новом положении.

Тогда кусочно-линейная задача оптимального управления (5) в классе дискретных управлений примет вид:

$$V_{\Theta}(z) = \min_{u, \Theta_1, \Theta_2, \Theta_3} \rho,$$

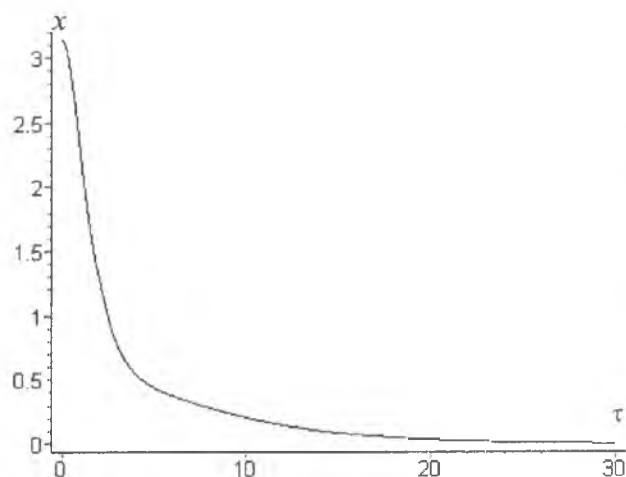


Рис. 2: Траектория замкнутой системы.

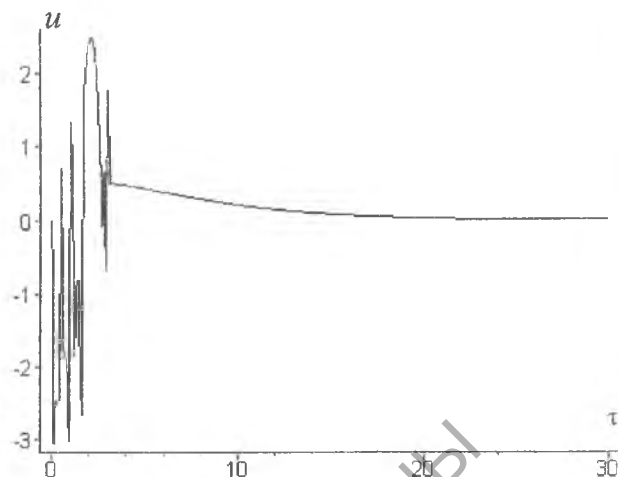


Рис. 3: Реализованное управление.

$$\ddot{x}^1 = -x^1 + \pi + u, \quad x^1(0) = z_1, \quad \dot{x}^1(0) = z_2, \quad t \in [0, \Theta_1]; \quad (9)$$

$$\ddot{x}^2 = (1 - 4/\pi)x^2 + 3 - \pi/2 - u(1 - 4/\pi), \quad t \in [\Theta_1, \Theta_2];$$

$$\ddot{x}^3 = (4/\pi - 1)x^3 + \pi/2 - 1 - u(4/\pi - 1), \quad t \in [\Theta_2, \Theta_3]; \quad \ddot{x}^4 = x^4 - u, \quad t \in [\Theta_3, \Theta];$$

$$x^1(\Theta_1) = 3\pi/4, \quad x^2(\Theta_2) = \pi/2, \quad x^3(\Theta_3) = \pi/4, \quad x^4(\Theta) = 0, \quad \dot{x}^4(\Theta) = 0; \quad |u(t)| \leq \rho, \quad t \in T.$$

Здесь  $\Theta_1^0 = \Theta_1^0(0) = \Theta_1^0(x(0), \dot{x}(0))$ ,  $\Theta_2^0 = \Theta_2^0(0) = \Theta_2^0(x(0), \dot{x}(0))$ ,  $\Theta_3^0 = \Theta_3^0(0) = \Theta_3^0(x(0), \dot{x}(0))$  — оптимальные моменты перехода траектории  $x^0(t)$ ,  $t \in T$ , из областей: I в II; II в III; III в IV.

Алгоритм работы оптимального регулятора, который в каждом процессе стабилизации способен в режиме реального времени вычислять текущие значения оптимальной обратной связи аналогичен описанному в работе [7].

Описанная процедура была реализована на ПЭВМ. Для решения задачи (9) были выбраны следующие значения параметров:  $\Theta = 3, h = 0.1$ . На рис. 2 показана траектория системы (2), замкнутой оптимальной обратной связью. На рис. 3 представлена полученная ограниченная стабилизирующая обратная связь.

### Abstract

The author considers the use of an accompanying problem of minimization of the intensity of the management for stabilization of a mathematical pendulum with two nonlinearities.

### Литература

1. Красовский Н.Н. Проблемы стабилизации управляемых движений / Малкин И.Г. Теория устойчивости движения. М.: Наука, 1966. — 530 с.
2. Малкин И.Г. Теория устойчивости движения. М.: Наука, 1966. — 530 с.
3. Четаев Н.Г. О выборе параметров устойчивой механической системы, Прикладная математика и механика, 1951. — Т. 15. — Вып. 2.
4. Понтрягин Л.С., Болтянский В.Г., Гамкрелидзе Р.В., Мищенко Е.Ф. Математическая теория оптимальных процессов. М.: Наука, 1969.
5. R.Gabasov, F.M.Kirillova, E.A.Ruzhitskaya. Stabilization of dynamical systems with the help of optimization methods//Nonsmooth and discontinuous problems of control and optimization. Proceedings volume from the IFAC Workshop, Chelyabinsk, Russia, 1998. — P. 35-41.

6. Габасов Р., Кириллова Ф.М., Костюкова О.И. Построение оптимальных управлений типа обратной связи в линейной задаче // Докл. АН СССР. 1991. Т.320. №6. С. 1294-1299.

7. Габасов Р., Кириллова Ф.М., Ружицкая Е.А., Фурута К. Стабилизация в большом перевернутого маятника. // Изв.РАН. Теория и системы управления, 2003. — № 1. — С. 17-23.

8. Габасов Р., Кириллова Ф.М., Ружицкая Е.А. Стабилизация перевернутого маятника // Доклады НАН Беларуси. 2000. Т.44, №2. С. 9-12.

9. Furuta K., Yamakita M., Kobayashi S. Swing-up control of inverted pendulum using pseudo-state feedback // J. Systems and Control Eng., 1992. — V. 206. — P. 263-269.

10. Astrom K.J., Furuta K. Swinging up a pendulum by energy control // Proc. 13th Triennial World Congress. San Francisco, USA. — P. 37-42.

11. Габасов Р., Кириллова Ф.М., Костюкова О.И., Покатаев А.В. Конструктивные методы оптимизации: Ч. 5. Нелинейные задачи. — Мн.: Універсітэцкае, 1998. — 390 с.

12. Gabasov R., Kirillova F.M. Real-time construction of optimal closable feedbacks // 13th World Congress of IFAC International Federation of Automatic Control, V.D., San Francisca, CA, USA. 1996.

Гомельский государственный  
университет им. Ф.Скорины

Поступило 12.04.04

РЕПОЗИТОРИЙ ГГУ ИМЕНИ Ф. СКОРИНЫ